

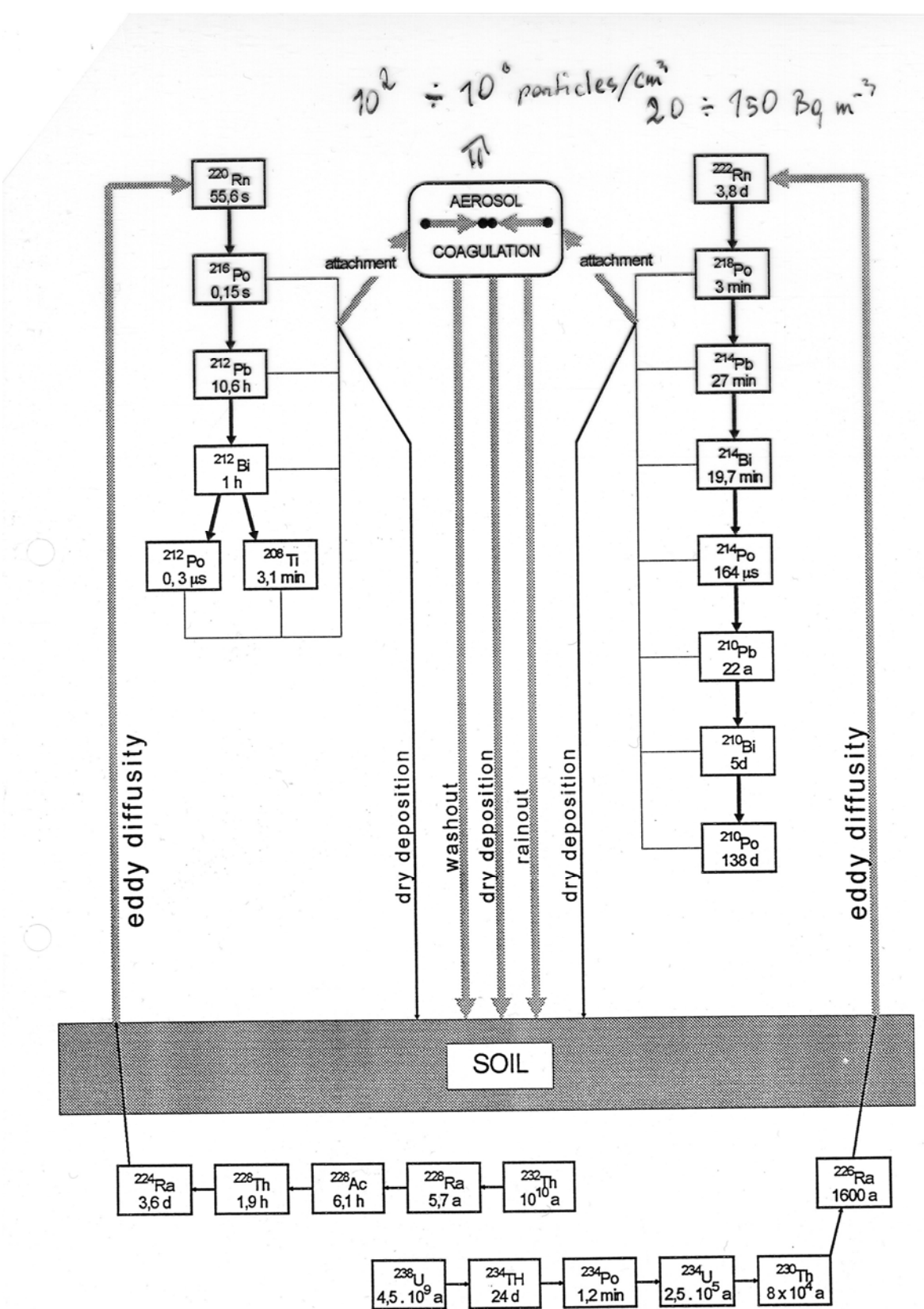
## Radon in the environment

- Production in the soil, Emanation from the soil

- Sources and entry routes into dwellings

- Aerosol size distribution

- Diurnal variation



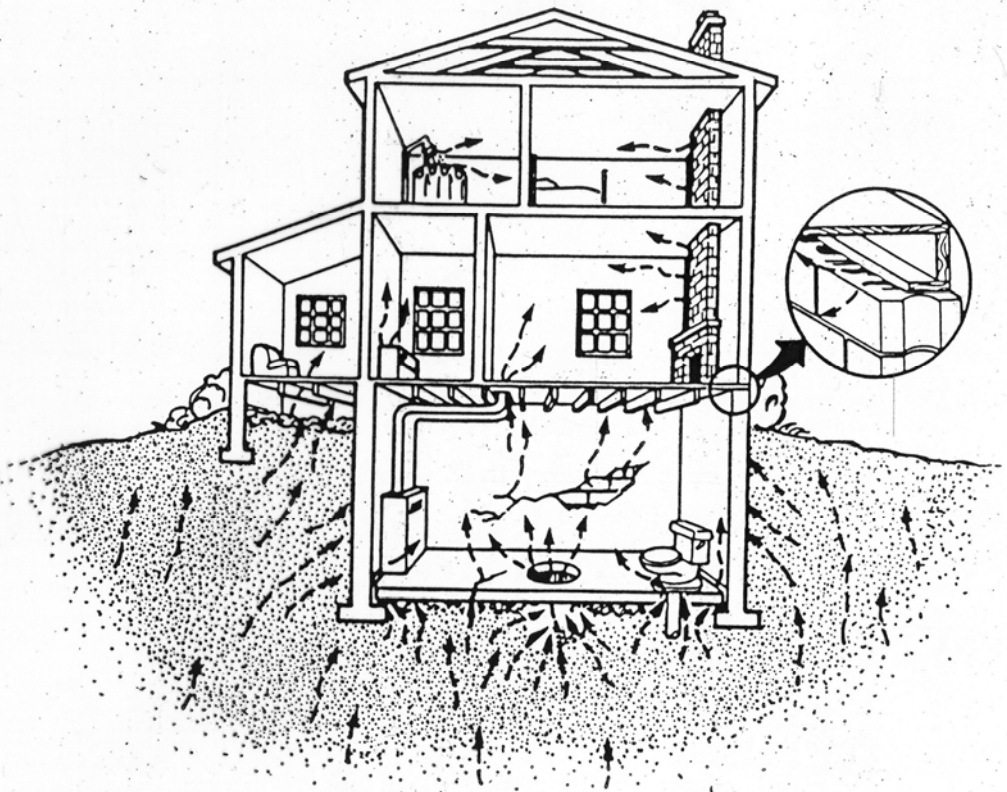


FIG. 5.4. Sources and entry routes of indoor radon.

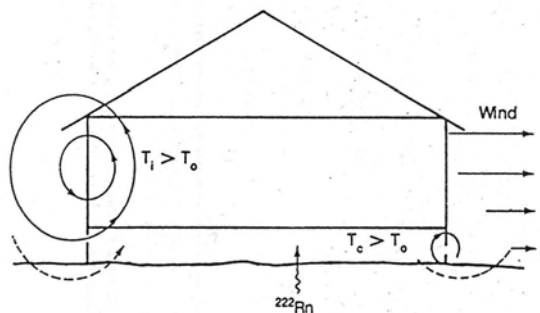


Figure XI. Schematic diagram of mechanisms related to radon transport from soil, through a vented crawl space and into a house.  
[N10]

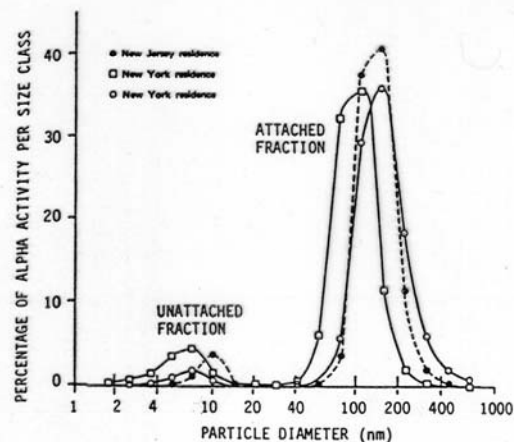


Figure XVIII. Histograms of size distribution of radon decay products.  
[G11]

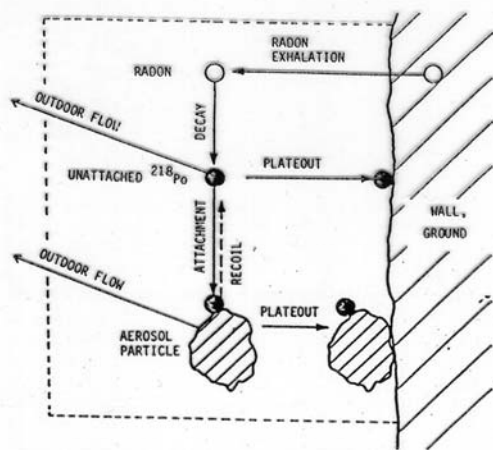


Figure XIX. The basic processes influencing the activity balance of radon decay products.  
[P5]

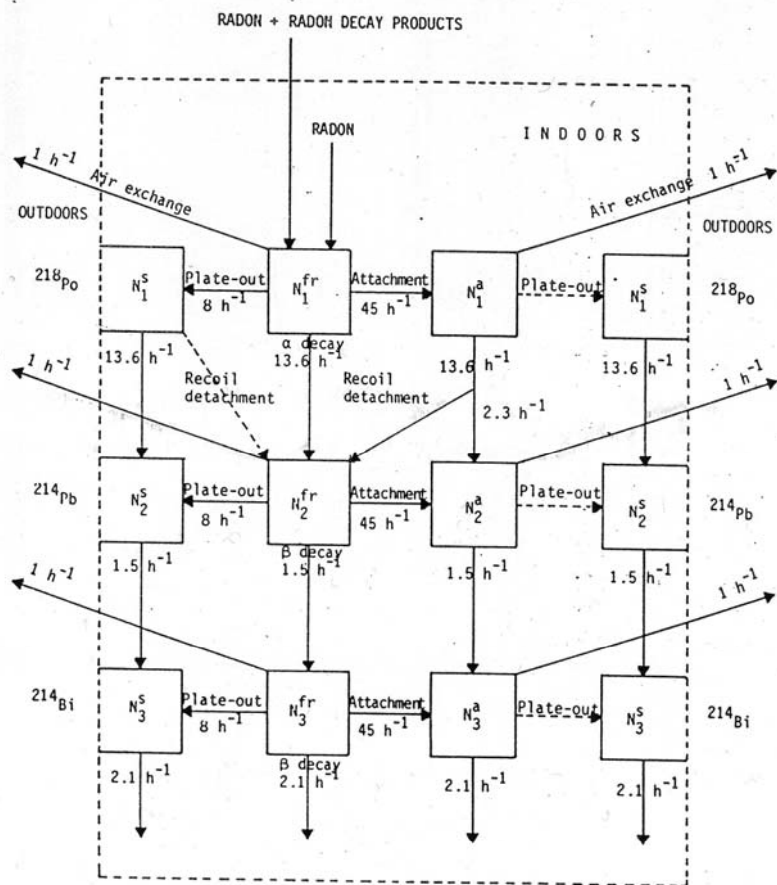


Figure XX. Flow chart of radon decay product behaviour under average conditions.  
[B1]

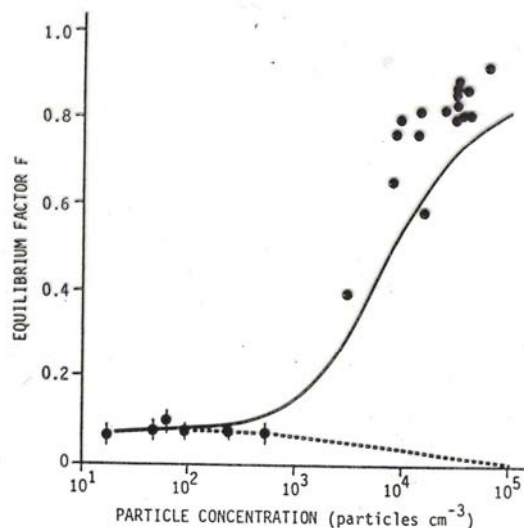


Figure XXIII. Equilibrium factor  $F$  versus particle concentration. Measured data and representative uncertainties are indicated by the solid circles and error bars. The solid line is based on calculated values for total radon decay products, while the dashed line indicates calculated values for unattached radon decay products.

[S43]

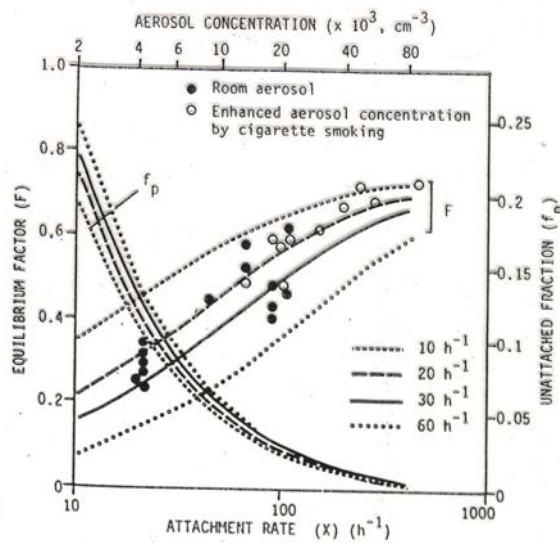


Figure XXII. Equilibrium factor and unattached fraction for radon decay products as a function of aerosol concentration.

[P5]

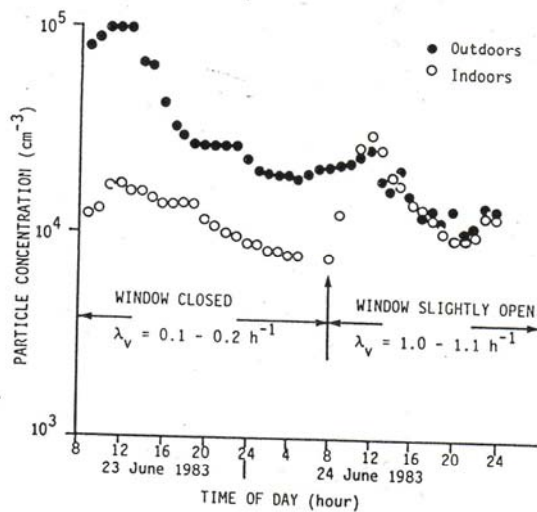


Figure XXI. Diurnal variation of aerosol concentrations outdoors and indoors of a building for different ventilation rates.

[P5]

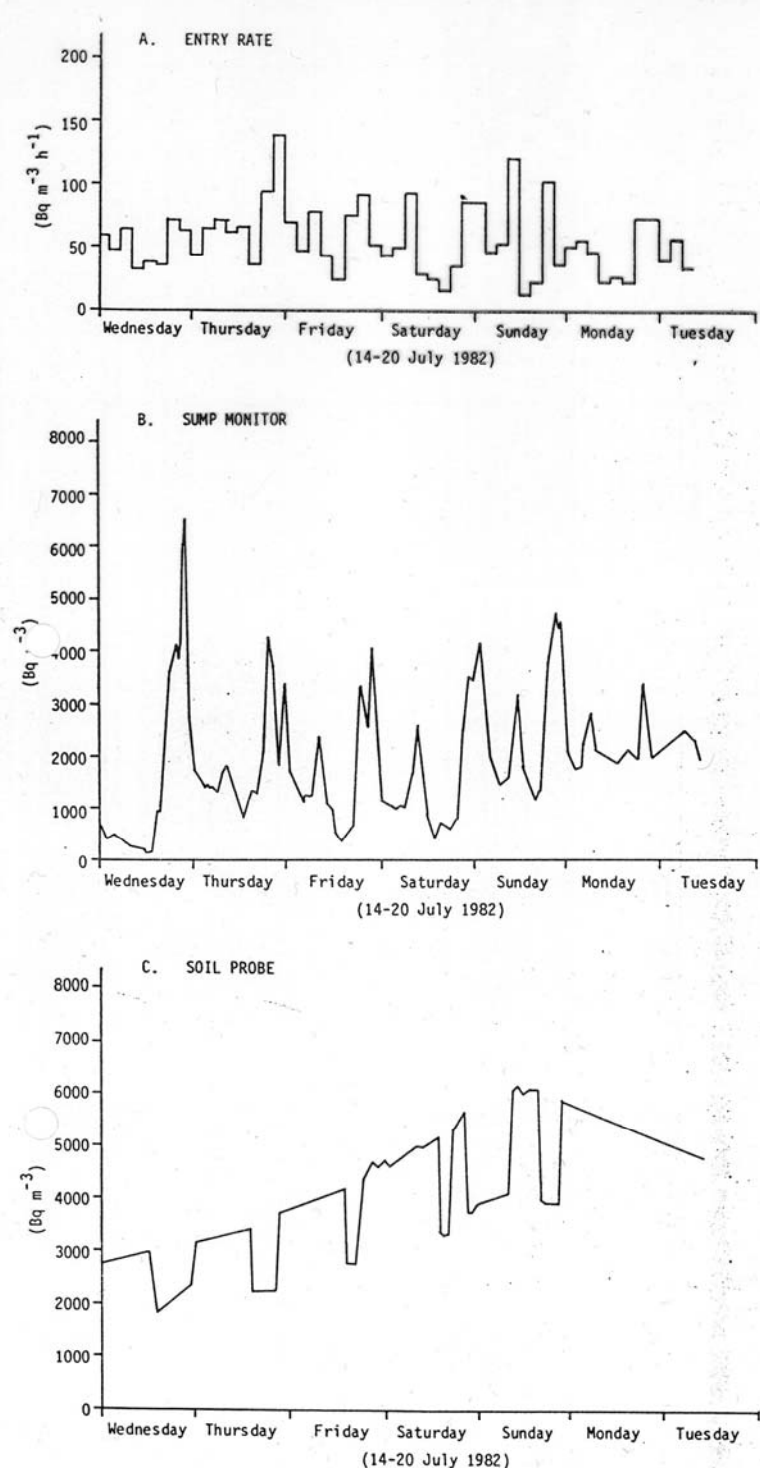


Figure XII. Variation with time in a single-family house with a basement of (a) radon entry rate; (b) the radon concentration in the basement sump; and (c) in the soil adjacent to the house.  
[N4]

# CONVERSION FACTORS FOR RADON UNITS

INTRODUCTION	RADON CONCENTRATION	RADON, RADON PROGENY EXPOSURE																					
<p>The following conversion factors are useful for converting between units commonly used for the measurement of radon and radon decay products.</p> <p>For some conversion factors the following assumptions have been made and are indicated in parentheses beside the units</p> <ul style="list-style-type: none"> <li>(a) the equilibrium ratio between radon progeny and the parent radon is 0.5</li> <li>(b) the dwelling occupancy factor is 100%.</li> <li>(c) the dose conversion coefficient is <math>1 \times 10^{-5}</math> m Sv per <math>\text{Bq.h.m}^{-3}</math> EER (equilibrium equivalent radon concentration-ICRP-50 sec.3.3)</li> <li>(d) 1WLM is 1 WL for 170 h  <math>1 \text{ WLM} = 6.3 \times 10^5 \text{ Bq.h.m}^{-3} \text{ EER}</math>  <math>1 \text{ Bq.h.m}^{-3} \text{ EER} = 1.60 \times 10^{-6} \text{ WLM}</math>            (ICRP-50, section A.5)</li> </ul>	<p><b>RADON CONCENTRATION</b></p> <p>becquerel per cubic metre</p> $1 \text{ Bq.m}^{-3} = 2.7 \times 10^{-2} \text{ pCi.L}^{-1}$ $= 1.35 \times 10^{-4} \text{ WL}$ $(a) = 0.5 \text{ Bq.m}^{-3} \text{ EER}$ $(a)$ <p>picocurie per litre</p> $1 \text{ pCi.L}^{-1} = 37 \text{ Bq.m}^{-3}$ $= 5 \times 10^{-3} \text{ WL}$ $(a) = 18.5 \text{ Bq.m}^{-3} \text{ EER}$ $(a)$	<p><b>RADON, RADON PROGENY EXPOSURE</b></p> <p>Average of 1 becquerel per cubic metre Rn for a year</p> $1 \text{ Bq.m}^{-3} \text{ y} = 4.38 \times 10^{-2} \text{ mSv} \quad (\text{a,b,c,d})$ $= 7.0 \times 10^{-3} \text{ WLM} \quad (\text{a,b,d})$ $= 8.76 \times 10^{-3} \text{ Bq.h.m}^{-3}$ <p>Average of picocurie per litre radon for a year</p> $1 \text{ pCi.L}^{-1} \text{ y} = 1.62 \text{ mSv} \quad (\text{a,b,c,d})$ $= 0.26 \text{ WLM} \quad (\text{a,b,d})$ $= 3.24 \times 10^{-5} \text{ Bq.h.m}^{-3}$ <p>Average of one Working Level for a year</p> $1 \text{ WL} \text{ y} = 51.53 \text{ WLM}$ $= 6.48 \times 10^7 \text{ Bq.h.m}^{-3} \quad (\text{a,b,d})$ $= 3.24 \times 10^7 \text{ Bq.h.m}^{-3} \text{ EER} \quad (\text{a,b,d})$ $= 1.75 \times 10^6 \text{ pCi.h.L}^{-1} \quad (\text{a,b,d})$ $= 324 \text{ mSv} \quad (\text{a,b,c,d})$																					
<p><b>ACTIVITY</b></p> <p>1 becquerel (Bq) = disintegration per second (<math>s^{-1}</math>)</p> <p>1 curie (Ci) = <math>3.7 \times 10^{10}</math> Bq</p> <p>1 picocurie (pCi) = 0.037 Bq</p> <p>1 becquerel (Be) = 0.27 pCi</p>	<p><b>RADON PROGENY CONCENTRATION</b></p> <p>Working Level</p> <table> <tr> <td>1WL</td> <td>= 7.4 x 10<sup>3</sup> Bq.m<sup>-3</sup></td> <td></td> </tr> <tr> <td></td> <td>(a)</td> <td></td> </tr> <tr> <td></td> <td>= 3.7 x 10<sup>3</sup> Bq.m<sup>-3</sup> EER</td> <td></td> </tr> <tr> <td></td> <td>= 2.0 x 10<sup>2</sup> pCi.L<sup>-1</sup></td> <td></td> </tr> <tr> <td></td> <td>(a)</td> <td></td> </tr> <tr> <td>0.02 WL</td> <td>= 1.48 x 10<sup>2</sup> Bq.m<sup>-3</sup> EER</td> <td>(a)</td> </tr> <tr> <td></td> <td>= 4 pCi.L<sup>-1</sup></td> <td>(a)</td> </tr> </table> <p>becquerel per cubic metre, EER</p> $1 \text{ Bq.m}^{-3} \text{ EER} = 2 \text{ Bq.m}^{-3}$ $= 5.4 \times 10^{-2} \text{ pCi.L}^{-1}$ $= 2.7 \times 10^{-4} \text{ WL}$	1WL	= 7.4 x 10 <sup>3</sup> Bq.m <sup>-3</sup>			(a)			= 3.7 x 10 <sup>3</sup> Bq.m <sup>-3</sup> EER			= 2.0 x 10 <sup>2</sup> pCi.L <sup>-1</sup>			(a)		0.02 WL	= 1.48 x 10 <sup>2</sup> Bq.m <sup>-3</sup> EER	(a)		= 4 pCi.L <sup>-1</sup>	(a)	<p>Average of 1 becquerel per cubic metre, equilibrium equivalent Rn concentration for a year</p> $1 \text{ Bq.m}^{-3} \text{ y EER} = 8.76 \times 10^{-2} \text{ mSv} \quad (\text{a,b,c,d})$ $= 1.4 \times 10^{-2} \text{ WLM} \quad (\text{a,b,d})$ $= 1.75 \times 10^{-4} \text{ Bq.h.m}^{-3} \quad (\text{a,b,d})$ $= 8.76 \times 10^{-3} \text{ Bq.h.m}^{-3} \text{ EER} \quad (\text{a,b,d})$
1WL	= 7.4 x 10 <sup>3</sup> Bq.m <sup>-3</sup>																						
	(a)																						
	= 3.7 x 10 <sup>3</sup> Bq.m <sup>-3</sup> EER																						
	= 2.0 x 10 <sup>2</sup> pCi.L <sup>-1</sup>																						
	(a)																						
0.02 WL	= 1.48 x 10 <sup>2</sup> Bq.m <sup>-3</sup> EER	(a)																					
	= 4 pCi.L <sup>-1</sup>	(a)																					
	<p><b>POTENTIAL ALPHA ENERGY CONCENTRATION</b></p> <p>1 Working Level(WL) = <math>1.3 \times 10^5 \text{ MeV.L}^{-1}</math></p> <p>= <math>2.08 \times 10^{-5} \text{ J.m}^{-3}</math></p> <p>1WL corresponds to radon progeny concentration in equilibrium with 100 pCi.L<sup>-1</sup> radon (3700 Bq.m<sup>-3</sup>)</p>																						

Größe	SI-Einheit	Größendefinition	alte Einheit	Einheitenzeichen	Umrechnung
Aktivität	Becquerel Einheitenzeichen: Bq $1 \text{ Bq} = 1 \text{ s}^{-1}$	Anzahl radioaktiver Kernumwandlungen pro Zeiteinheit	Curie	Ci	$1 \text{ Ci} = 3,7 \cdot 10^{10} \text{ Bq}$
Energiedosis	Gray Einheitenzeichen: Gy $1 \text{ Gy} = 1 \text{ J/kg}$	Gesamte absorbierte Strahlungsenergie in der Masseneinheit	Rad	rd	$1 \text{ rd} = 10^{-2} \text{ Gy}$
Äquivalentdosis	Sievert Einheitenzeichen: Sv $1 \text{ Sv} = 1 \text{ J/kg}$	Energiedosis multipliziert mit dem dimensionslosen Bewertungsfaktor der vorliegenden Strahlenart	Rem	rem	$1 \text{ rem} = 10^{-2} \text{ Sv}$
Ionendosis	Coulomb pro Kilogramm Einheitenzeichen: C/kg	Elektrische Ladung der in einer luftgefüllten Ionisationskammer erzeugten Ionen, dividiert durch die Masse der darin enthaltenen Luft	Röntgen	R	$1 \text{ R} = 2,58 \cdot 10^{-4} \text{ C/kg}$
Energiedosisleistung	Gray pro Sekunde (bzw. Gray pro Stunde) Einheitenzeichen: Gy/s (bzw. Gy/h)	Energiedosis pro Zeiteinheit	Rad pro Sekunde (bzw. Rad pro Stunde)	rd/s rd/h	$1 \text{ rd/s} = 10^{-2} \text{ Gy/s}$ $1 \text{ rd/h} = 10^{-2} \text{ Gy/h}$
Äquivalentdosisisleistung	Sievert pro Sekunde (bzw. Sievert pro Stunde) Einheitenzeichen: Sv/s (bzw. Sv/h)	Äquivalentdosis pro Zeiteinheit	Rem pro Sekunde (bzw. Rem pro Stunde)	rem/s rem/h	$1 \text{ rem/s} = 10^{-2} \text{ Sv/s}$ $1 \text{ rem/h} = 10^{-2} \text{ Sv/h}$
Ionendosisleistung	Ampere pro Kilogramm Einheitenzeichen: A/kg	Ionendosis pro Zeiteinheit	Röntgen pro Sekunde (bzw. Röntgen pro Stunde)	R/s R/h	$1 \text{ R/s} = 0,93 \text{ A/kg}$ $1 \text{ R/h} = 2,58 \cdot 10^{-4} \text{ A/kg}$

Radionuklid	$\Gamma_{20} (\text{mGy} \cdot \text{m}^2/\text{h} \cdot \text{GBq})$	$\Gamma_H (\text{mSv} \cdot \text{m}^2/\text{h} \cdot \text{GBq})$	
<sup>22</sup> Na	0.281	0.3206	Folter 1,14
<sup>57</sup> Co	0.0133	0.0152	
<sup>60</sup> Co	0.307	0.3503	
<sup>99</sup> Mo	0.0341	0.0389	
<sup>99</sup> Tc-m	0.0141	0.0161	
<sup>131</sup> I	0.0518	0.0591	
<sup>133</sup> Xe	0.0121	0.0138	
<sup>137</sup> Cs*	0.0768	0.0876	
<sup>192</sup> Ir	0.109	0.1244	
<sup>198</sup> Au	0.0548	0.0625	
<sup>220</sup> Ra**	0.197	0.225	
<sup>241</sup> Am	0.00576	0.00657	

Tab. 8.3: Dosisleistungskonstanten für Photonenstrahlung aus [Reich].  $\Gamma_H$  ist mit dem im Text erwähnten Umrechnungsfaktor aus den Kermakonstanten  $\Gamma_{20}$  berechnet. \*: im Gleichgewicht mit Folgeprodukten, \*\*: gefiltert mit 0.5 mm Pt und im Gleichgewicht mit Folgeprodukten. Die numerischen Werte für <sup>137</sup>Cs und <sup>60</sup>Co unterscheiden sich geringfügig von den Ergebnissen in den Beispielen 2 und 3, da dort etwas abweichende Werte für die Energieumwandlungskoeffizienten verwendet wurden.